

SCHRIFTLICHE PRÜFUNG zur  
VU Modellbildung  
am 31.03.2023

Arbeitszeit: 150 min

Name:

Vorname(n):

Matrikelnummer:

Note:

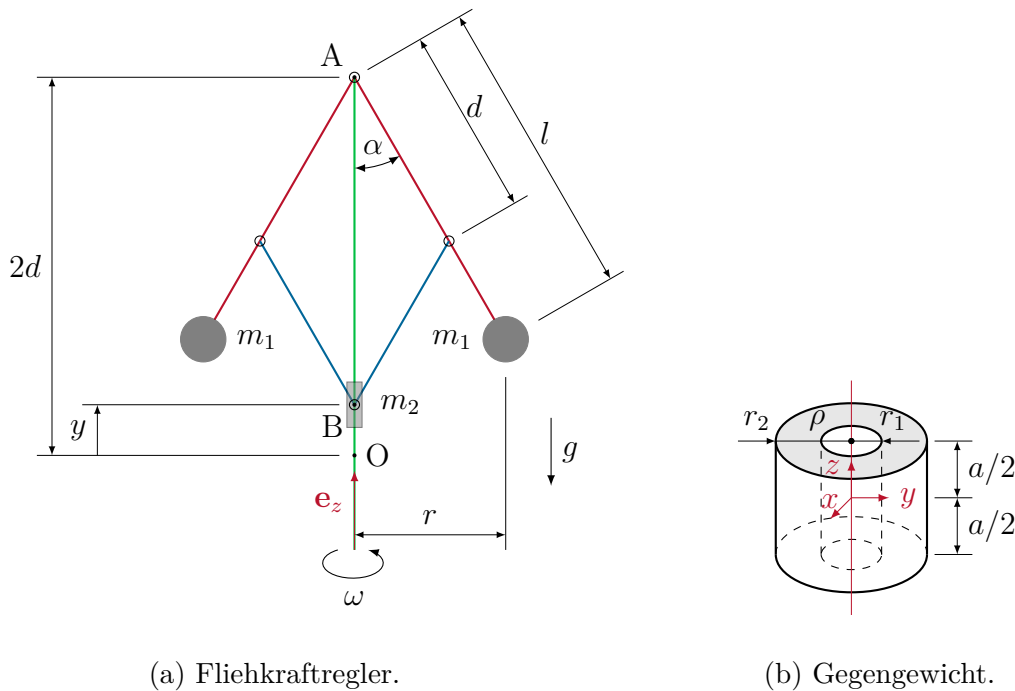
Aufgabe	1	2	3	BP	$\Sigma$
erreichbare Punkte	11	10.5	18.5	5	40
erreichte Punkte					

**Bitte ...**

- ... tragen Sie Name, Vorname und Matrikelnummer auf dem Deckblatt ein,
- ... rechnen Sie die Aufgaben auf separaten Blättern, **nicht** auf dem Angabeblatt,
- ... beginnen Sie für eine neue Aufgabe immer auch eine neue Seite,
- ... geben Sie auf jedem Blatt den Namen sowie die Matrikelnummer an und
- ... begründen Sie Ihre Antworten ausführlich.

**Viel Erfolg!**

1. Abbildung 1a zeigt einen Fliehkraftregler, der aus zwei Kugeln mit der Masse  $m_1$ , einen Gegengewicht mit der Masse  $m_2$ , und masselosen Stäben besteht. Die Stäbe sind reibungslos mit Drehgelenken verbunden. Der Fliehkraftregler rotiert mit einer konstanten Drehzahl  $\omega$  um die Achse  $\mathbf{e}_z$ , wodurch die Zentrifugalkraft  $f_c = m_1\omega^2 r$  auf jede Kugel wirkt. Dabei ist  $r$  der Abstand der Kugel von der Drehachse. Der Ausgang des Fliehkraftreglers ist die Höhe  $y$ , wobei  $y = 0$  bei  $\alpha = 0$  gilt.  
*Hinweis: Die Unterpunkte c) bis e) können unabhängig voneinander gelöst werden.*



(a) Fliehkraftregler.

(b) Gegengewicht.

Abbildung 1: Fliehkraftregler und Gegengewicht.

- a) Berechnen Sie die Höhe  $y$  und den Abstand  $r$  für einen gegebenen Winkel  $\alpha$ . 0.5 P. |
- b) Schneiden Sie einen roten Stab zusammen mit einer Kugel, einen blauen Stab, wie auch das Gegengewicht frei. 2 P. |  
*Hinweis: Achten Sie auf die Symmetrie des Fliehkraftreglers.*
- c) Berechnen Sie alle Schnittkräfte sowie die Drehzahl  $\omega$  so, dass für  $\alpha = \pi/6$  das System im Gleichgewicht ist. 4.5 P. |
- d) Nehmen Sie an, dass  $m_2 = 0$  gilt. Berechnen Sie den Winkel  $\alpha$  in Abhängigkeit von der Drehzahl  $\omega$ , sodass das System im Gleichgewicht ist. 2 P. |
- e) Das Gegengewicht ist ein Hohlzylinder mit den in Abbildung 1b gegebenen Dimensionen und einer Dichte  $\rho = \rho_0 + \rho_2 r^2$ , mit  $r^2 = x^2 + y^2$ . Berechnen Sie das Massenträgheitsmoment des Gegengewichts  $I_{zz}$  um die  $z$ -Achse. 2 P. |

Lösung:

a)  $y = 2d(1 - \cos \alpha)$   
 $r = l \sin \alpha$

b) Die Schnittskizze ist in Abbildung 2 gegeben.

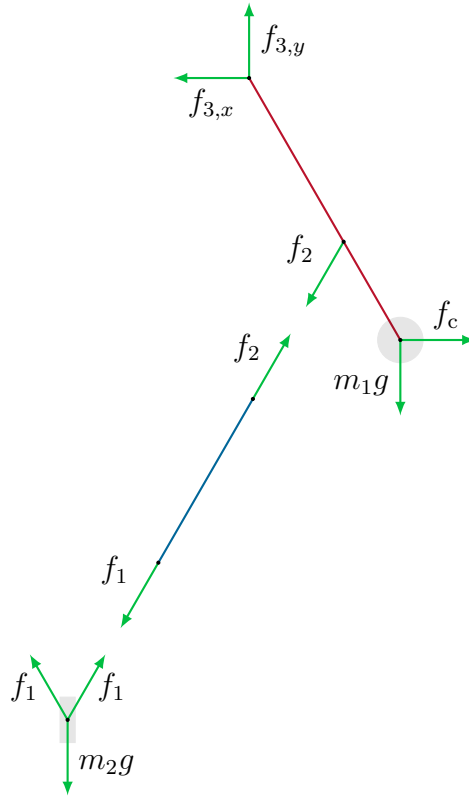


Abbildung 2: Schnittskizze des Fliehkraftreglers.

c)  $f_1 = \frac{\sqrt{3}}{3} m_2 g$   
 $f_2 = \frac{\sqrt{3}}{3} m_2 g$   
 $f_{3,x} = \frac{\sqrt{3}}{3} \left( m_1 + m_2 \left( \frac{d}{l} - \frac{1}{2} \right) \right) g$   
 $f_{3,y} = \left( m_1 + \frac{1}{2} m_2 \right) g$   
 $\omega = \sqrt{\frac{2\sqrt{3}(m_1 l + m_2 d)g}{3m_1 l^2}}$   
d)  $\alpha = \arccos\left(\frac{g}{\omega^2 l}\right)$   
e)  $I_{zz} = 2\pi a \left( \rho_0 \frac{r_2^4 - r_1^4}{4} + \rho_2 \frac{r_2^6 - r_1^6}{6} \right)$

2. Der in Abbildung 3 dargestellte Wetterballon und die Nutzlast befinden sich auf einer Höhe  $z$  bei einer Luftdichte  $\rho_L(z) = \rho_0 e^{-\frac{z}{k}}$ . Der Ballon hat das konstante Volumen  $V$  und ist mit einem Gas der Dichte  $\rho_B$  gefüllt. Die Nutzlast hat eine Masse  $m$  mit den in Abbildung 3a gegebenen Abmessungen. Auf den Ballon und die Nutzlast wirkt ein Seitenwind  $v$  in positive  $y$ -Richtung und die Gravitation in negative  $z$ -Richtung. Zusätzlich wirkt auf den Ballon eine Auftriebskraft  $f_a = \rho_L(z)Vg$ . Der Ballon und die Nutzlast haben einen Widerstandsbeiwert  $c_W$  der in allen Richtungen gleich ist. Die seitliche Querschnittsfläche des Wetterballons ist  $A$ . *Hinweis: Die Unterpunkte d) und e) können unabhängig von den vorherigen Aufgaben gelöst werden.* 10.5 P. |

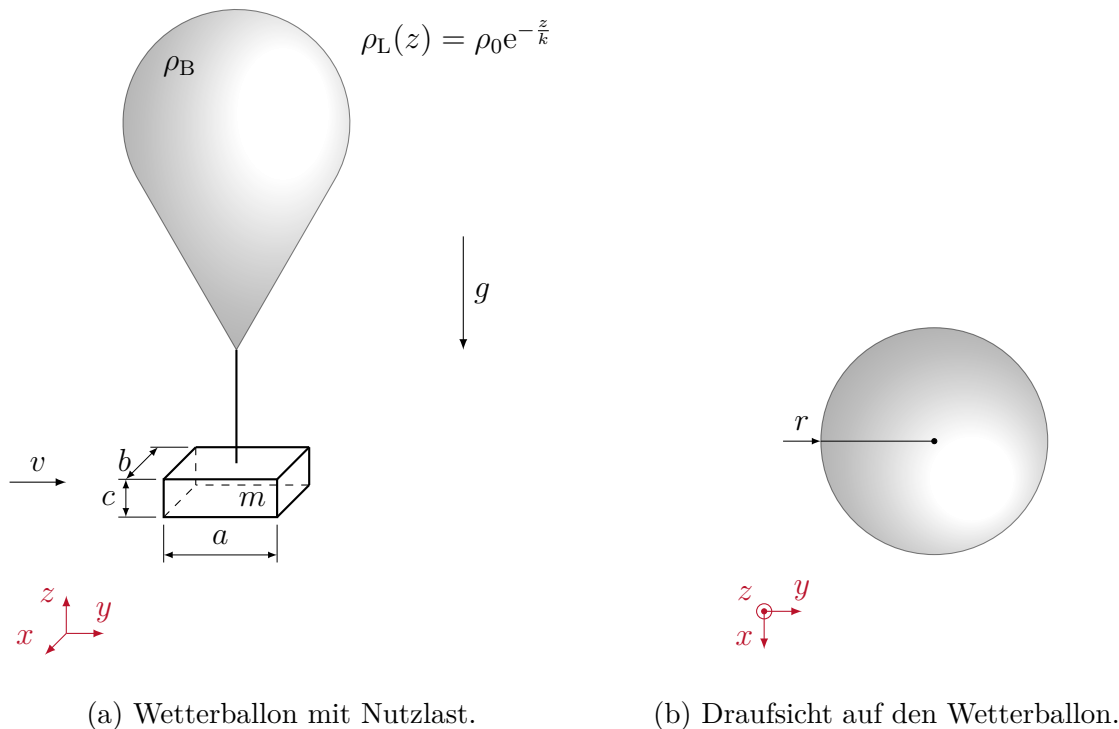


Abbildung 3: Wetterballon mit Nutzlast.

- a) Zeichnen Sie alle Kräfte, die auf den Ballon und die Nutzlast wirken, ein. 2 P. |
- b) Geben Sie die Bewegungsgleichungen des Ballons mit Nutzlast an. 3 P. |  
*Hinweis: Betrachten Sie den Ballon und die Nutzlast als Starrkörper.*
- c) Berechnen Sie die stationären Geschwindigkeiten  $v_{x,R}$  und  $v_{y,R}$  in  $x$ - und  $y$ -Richtung wie auch die stationäre Höhe  $z_R$  des Ballons mit Nutzlast. 2 P. |
- d) Der Ballon platzt zum Zeitpunkt  $t = t_0$ . Geben Sie die Bewegungsgleichungen der Nutzlast an. 1.5 P. |
- e) Zum Zeitpunkt  $t_0 = 0$  befindet sich die Nutzlast an der Position  $\mathbf{r}(t_0) = \mathbf{r}_0 = [x_0, y_0, z_0]^T$  und hat die Geschwindigkeit  $\mathbf{v}(t_0) = \mathbf{v}_0 = [0, v_{y,0}, 0]^T$ . Bestimmen Sie den Punkt  $\mathbf{r}_T$ , die Geschwindigkeit  $\mathbf{v}_T$  und den Zeitpunkt  $t_T$  des Aufschlags der Nutzlast auf die Erdoberfläche  $z_T = 0$ . Vernachlässigen Sie den Strömungswiderstand. 2 P. |

Lösung:

a) Die Kräfte sind in Abbildung 4 gegeben.

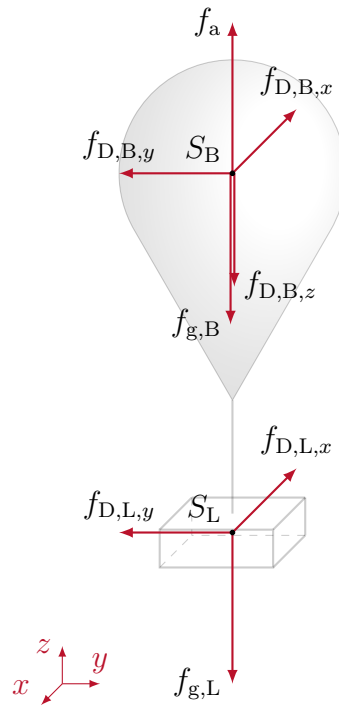


Abbildung 4: Ballon und Nutzlast mit allen wirkenden Kräften.

Es gilt

$$f_{g,L} = mg$$

$$f_{D,L,x} = \frac{1}{2}\rho_L(z)acc_W\dot{x}|\dot{x}|$$

$$f_{D,L,y} = \frac{1}{2}\rho_L(z)bcc_W(\dot{y} - v)|\dot{y} - v|$$

$$f_{g,B} = \rho_B V g$$

$$f_{D,B,x} = \frac{1}{2}\rho_L(z)Ac_W\dot{x}|\dot{x}|$$

$$f_{D,B,y} = \frac{1}{2}\rho_L(z)Ac_W(\dot{y} - v)|\dot{y} - v|$$

$$f_{D,B,z} = \frac{1}{2}\rho_L(z)r^2\pi c_W\dot{z}|\dot{z}|.$$

$$\begin{aligned} b) \quad (m + \rho_B V)\ddot{x} &= -\frac{1}{2}\rho_0 e^{-\frac{z}{k}}(A + ac)c_W\dot{x}|\dot{x}| \\ (m + \rho_B V)\ddot{y} &= -\frac{1}{2}\rho_0 e^{-\frac{z}{k}}(A + bc)c_W(\dot{y} - v)|\dot{y} - v| \\ (m + \rho_B V)\ddot{z} &= (\rho_0 e^{-\frac{z}{k}} - \rho_B)Vg - mg - \frac{1}{2}\rho_0 e^{-\frac{z}{k}}r^2\pi c_W\dot{z}|\dot{z}| \end{aligned}$$

$$c) \quad v_{x,R} = 0$$

$$v_{y,R} = v$$

$$z_R = k \ln\left(\frac{\rho_0 V}{m + \rho_B V}\right)$$

$$d) \quad m\ddot{x} = -\frac{1}{2}\rho_0 e^{-\frac{z}{k}}acc_W\dot{x}|\dot{x}|$$

$$m\ddot{y} = -\frac{1}{2}\rho_0 e^{-\frac{z}{k}}bcc_W(\dot{y} - v)|\dot{y} - v|$$

$$m\ddot{z} = -mg - \frac{1}{2}\rho_0 e^{-\frac{z}{k}}abc_W\dot{z}|\dot{z}|$$

$$e) \quad t_T = \sqrt{\frac{2z_0}{g}}$$

$$\mathbf{r}_T = \left[ x_0, y_0 + v_{y,0}\sqrt{\frac{2z_0}{g}}, 0 \right]^T$$

$$\mathbf{v}_T = \left[ 0, v_{y,0}, -\sqrt{2z_0g} \right]^T$$

3. Die folgenden Aufgaben können unabhängig voneinander gelöst werden.

18.5 P. |

a) Gegeben ist der planare Manipulator aus Abbildung 5. Alle Glieder  $i$  werden als Punktmassen  $m_i$ ,  $i = 0, 1, 2$ , modelliert und die Massenträgheitsmomente werden vernachlässigt, d.h.  $\mathbf{I}_i = \mathbf{0}$ . Die Gravitation  $g$  wirkt in die negative  $y_0$ -Richtung. Der Vektor der generalisierten Koordinaten ist  $\mathbf{q} = [q_1 \ q_2]^T$ .

8 P. |

- i. Berechnen Sie die Massenmatrix  $\mathbf{M}(\mathbf{q})$  mithilfe der Jacobi-Matrizen. 4 P. |
- ii. Berechnen Sie den Eintrag  $C_{12}(\mathbf{q}, \dot{\mathbf{q}})$  der Coriolis-Matrix  $\mathbf{C}(\mathbf{q}, \dot{\mathbf{q}})$ . 2 P. |
- iii. Berechnen Sie den Vektor der Potentialkräfte  $\mathbf{g}(\mathbf{q})$ . 1 P. |
- iv. Berechnen Sie den Wert der generalisierten Koordinaten  $\mathbf{q}$  so, dass der Endeffektor auf einem vorgegebenen Punkt  $\mathbf{p} = [p_x \ p_y \ 0]^T$  zu liegen kommt. 1 P. |

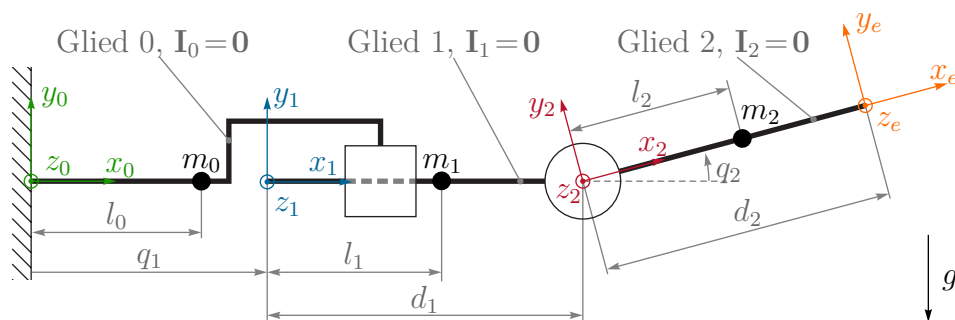


Abbildung 5: Planarer Manipulator.

b) Gegeben ist der Roboterarm mit elastischem Antriebsstrang aus Abbildung 6, welcher mit dem Motormoment  $\tau_m$  angetrieben wird. Die eingezeichneten Größen sind bekannt. Der Motor ist mit dem Roboterarm über die nichtlineare Drehfeder  $\tau_k(\Delta q) = k\Delta q^5$ ,  $\Delta q = q_2 - q_1$ , verbunden. Die lineare Dämpfung  $d_1$  wirkt auf den Rotor und  $d_2$  wirkt auf den Roboterarm. Weiters wirkt die Gravitation  $g$  auf das Starrkörpersystem. Das Massenträgheitsmoment  $I_2$  ist bezüglich der Achse  $A$  angegeben.

2.5 P. |

Geben Sie die Drehimpulserhaltung für den Rotor und den Roboterarm an.

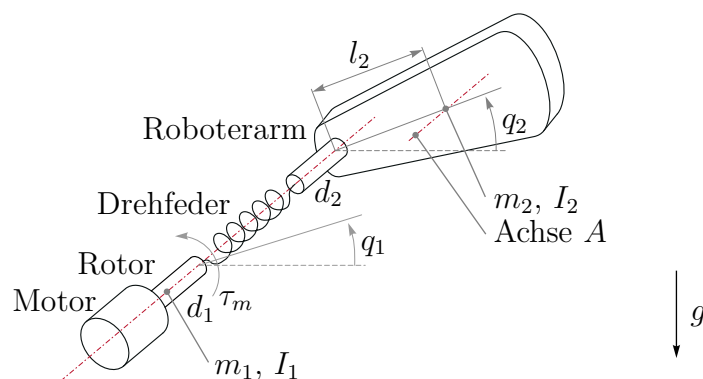


Abbildung 6: Roboterarm mit elastischem Antriebsstrang.

- c) Gegeben ist die Anordnung dreier Koordinatensysteme  $(0_i x_i y_i z_i)$ ,  $i = 0, 1, 2$ , 2.5 P. |  
mit den zeitabhängigen Größen  $\mathbf{R}_a(t)$  und  $\mathbf{d}_a(t)$  sowie den konstanten Größen  $\mathbf{R}_b$ ,  $\mathbf{d}_b$  und  $\mathbf{p}$ . Berechnen Sie die Ausdrücke für folgende Größen und vereinfachen Sie so weit wie möglich:
- Position des Punktes  $P$  in  $(0_0 x_0 y_0 z_0)$ . 0.5 P. |
  - Position des Punktes  $P$  in  $(0_1 x_1 y_1 z_1)$ . 0.5 P. |
  - Geschwindigkeit des Punktes  $P$  in  $(0_0 x_0 y_0 z_0)$ . 0.5 P. |
  - Geschwindigkeit des Punktes  $P$  in  $(0_1 x_1 y_1 z_1)$ . 0.5 P. |
  - Vektor der Drehwinkelgeschwindigkeit von  $(0_2 x_2 y_2 z_2)$  gegenüber  $(0_0 x_0 y_0 z_0)$ . 0.5 P. |

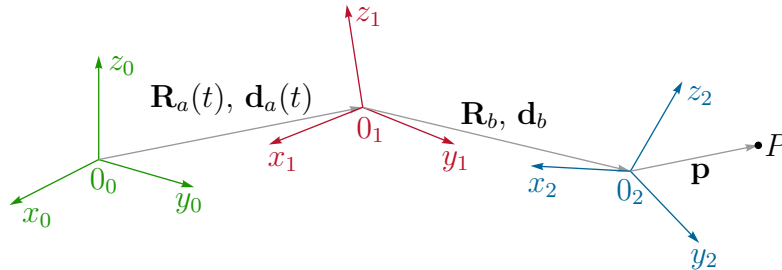


Abbildung 7: Drei Koordinatensysteme.

- d) Gegeben ist die kinematische Kette aus Abbildung 8 (nächste Seite). Alle Abmessungen und Winkel sind bekannt. Der Verschiebungsvektor  $\mathbf{d}_1$  setzt sich allgemein als  $\mathbf{d}_1 = [d_{1,x} \ d_{1,y} \ d_{1,z}]^T$  zusammen. 5.5 P. |
- Wie viele Freiheitsgrade besitzt die kinematische Kette? Geben Sie an, um welche Art von Gelenken es sich handelt und geben Sie den Vektor der generalisierten Koordinaten  $\mathbf{q}$  an. 1 P. |
  - Zeichnen Sie geeignete Koordinatensysteme in Abbildung 8 ein. 1.5 P. |
  - Geben Sie eine Berechnungsvorschrift für die homogene Transformation des Koordinatensystems am Endeffektor  $(0_e x_e y_e z_e)$  bezüglich der Roboterbasis  $b$  an. 0.5 P. |  
*Hinweis: Die Berechnungsvorschrift muss nicht ausgewertet werden.*
  - Geben Sie *alle* homogenen Transformationen an, die für die Berechnungsvorschrift in Punkt iii. benötigt werden. Vereinfachen Sie jede Transformation so weit wie möglich. 2.5 P. |

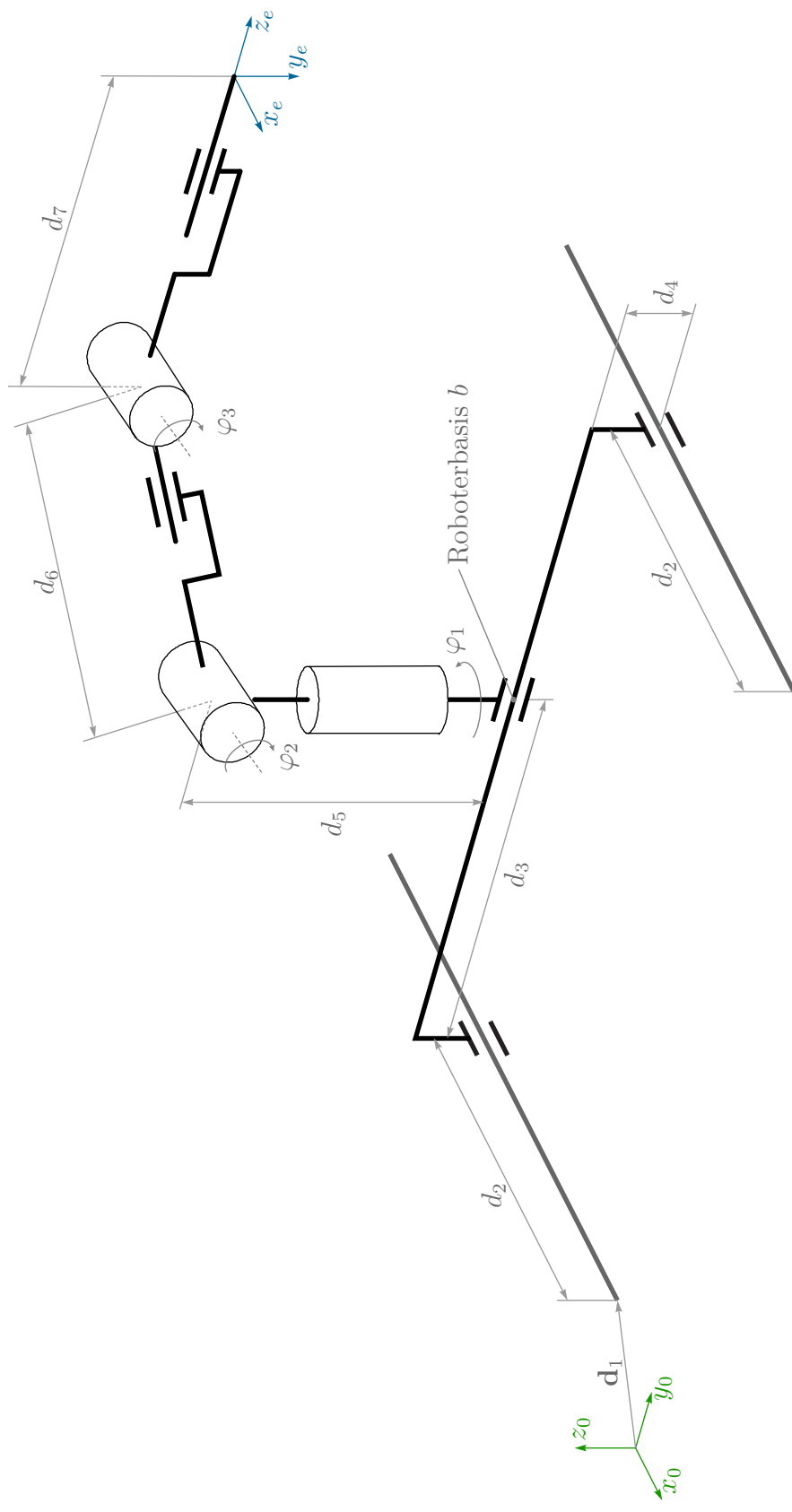


Abbildung 8: Kinematische Kette.

Lösung:

a) i.

$$\mathbf{p}_{m_1} = \begin{bmatrix} q_1 + l_1 \\ 0 \\ 0 \end{bmatrix}, \quad (\mathbf{J}_v)_0^{m_1}(\mathbf{q}) = \frac{\partial \mathbf{p}_{m_1}}{\partial \mathbf{q}} = \begin{bmatrix} 1 & 0 \\ 0 & 0 \\ 0 & 0 \end{bmatrix},$$

$$\mathbf{p}_{m_2} = \begin{bmatrix} q_1 + d_1 + l_2 \cos(q_2) \\ l_2 \sin(q_2) \\ 0 \end{bmatrix}, \quad (\mathbf{J}_v)_0^{m_2}(\mathbf{q}) = \frac{\partial \mathbf{p}_{m_2}}{\partial \mathbf{q}} = \begin{bmatrix} 1 & -l_2 \sin(q_2) \\ 0 & l_2 \cos(q_2) \\ 0 & 0 \end{bmatrix},$$

$$\mathbf{M}(\mathbf{q}) = \sum_{i=1}^2 ((\mathbf{J}_v)_0^{m_i})^T m_i (\mathbf{J}_v)_0^{m_i} = \begin{bmatrix} m_1 + m_2 & -m_2 l_2 \sin(q_2) \\ -m_2 l_2 \sin(q_2) & l_2^2 m_2 \end{bmatrix} = \begin{bmatrix} M_{11} & M_{12} \\ M_{21} & M_{22} \end{bmatrix}$$

ii.

$$C_{12} = c_{121} \dot{q}_1 + c_{221} \dot{q}_2 = -m_2 l_2 \cos(q_2) \dot{q}_2$$

$$c_{121} = \frac{1}{2} \left( \frac{\partial M_{12}}{\partial q_1} + \frac{\partial M_{11}}{\partial q_2} - \frac{\partial M_{12}}{\partial q_1} \right) = 0$$

$$c_{221} = \frac{1}{2} \left( \frac{\partial M_{12}}{\partial q_2} + \frac{\partial M_{12}}{\partial q_2} - \frac{\partial M_{22}}{\partial q_1} \right) = -m_2 l_2 \cos(q_2)$$

iii.

$$V(\mathbf{q}) = \sum_{i=1}^2 m_i g [0 \ 1 \ 0] \mathbf{p}_{m_i}$$

$$= m_1 g [0 \ 1 \ 0] \begin{bmatrix} q_1 + l_1 \\ 0 \\ 0 \end{bmatrix} + m_2 g [0 \ 1 \ 0] \begin{bmatrix} q_1 + d_1 + l_2 \cos(q_2) \\ l_2 \sin(q_2) \\ 0 \end{bmatrix}$$

$$= m_2 g l_2 \sin(q_2)$$

$$\mathbf{g}(\mathbf{q}) = \left( \frac{\partial V}{\partial \mathbf{q}} \right)^T = \begin{bmatrix} 0 \\ m_2 g l_2 \cos(q_2) \end{bmatrix}$$

iv.

$$\mathbf{p}_e = \begin{bmatrix} q_1 + d_1 + d_2 \cos(q_2) \\ d_2 \sin(q_2) \\ 0 \end{bmatrix} \stackrel{!}{=} \begin{bmatrix} p_x \\ p_y \\ 0 \end{bmatrix} \Rightarrow \mathbf{q} = \begin{bmatrix} p_x - d_1 - d_2 \cos(q_2) \\ \arcsin\left(\frac{p_y}{d_2}\right) \end{bmatrix}$$

b)

$$\begin{array}{ll} \text{Rotor:} & I_1 \ddot{q}_1 = \tau_m + k \Delta q^5 - d_1 \dot{q}_1 \\ \text{Roboterarm:} & (I_2 + m_2 l_2^2) \ddot{q}_2 = -k \Delta q^5 - d_2 \dot{q}_2 - m_2 g l_2 \cos(q_2) \end{array}$$

c) i.

$$\mathbf{p}_0 = \mathbf{d}_a(t) + \mathbf{R}_a(t)(\mathbf{d}_b + \mathbf{R}_b \mathbf{p}) = \mathbf{d}_a(t) + \mathbf{R}_a(t) \mathbf{d}_b + \mathbf{R}_a(t) \mathbf{R}_b \mathbf{p}$$

ii.

$$\mathbf{p}_1 = \mathbf{d}_b + \mathbf{R}_b \mathbf{p}$$

iii.

$$\mathbf{v}_0 = \dot{\mathbf{p}}_0 = \dot{\mathbf{d}}_a(t) + \dot{\mathbf{R}}_a(t)\mathbf{d}_b + \dot{\mathbf{R}}_a(t)\mathbf{R}_b\mathbf{p}$$

iv.

$$\mathbf{v}_1 = \dot{\mathbf{p}}_1 = \mathbf{0}$$

v.

$$\mathbf{R}_0^2(t) = \mathbf{R}_a(t)\mathbf{R}_b$$

$$\mathbf{S}(\boldsymbol{\omega}_0^2) = \dot{\mathbf{R}}_0^2(t)(\mathbf{R}_0^2(t))^\top = \dot{\mathbf{R}}_a(t)\mathbf{R}_b\mathbf{R}_b^\top\mathbf{R}_a^\top(t) = \dot{\mathbf{R}}_a(t)\mathbf{R}_a^\top(t)$$

$\boldsymbol{\omega}_0^2$  folgt aus den Elementen von  $\mathbf{S}(\boldsymbol{\omega}_0^2)$ .

d) i. 7 Freiheitsgrade

Translationsgelenke:  $d_2, d_3, d_6, d_7$

Rotationsgelenke:  $\varphi_1, \varphi_2, \varphi_3$

$$\mathbf{q} = [d_2 \ d_3 \ \varphi_1 \ \varphi_2 \ d_6 \ \varphi_3 \ d_7]^\top$$

ii. Die Anordnung und auch die Anzahl der Koordinatensysteme ist nicht eindeutig. Es werden aber insgesamt mindestens 8 Koordinatensysteme benötigt, d.h. eines für jeden Starrkörper. Eine mögliche Lösung zeigt Abb. 9.

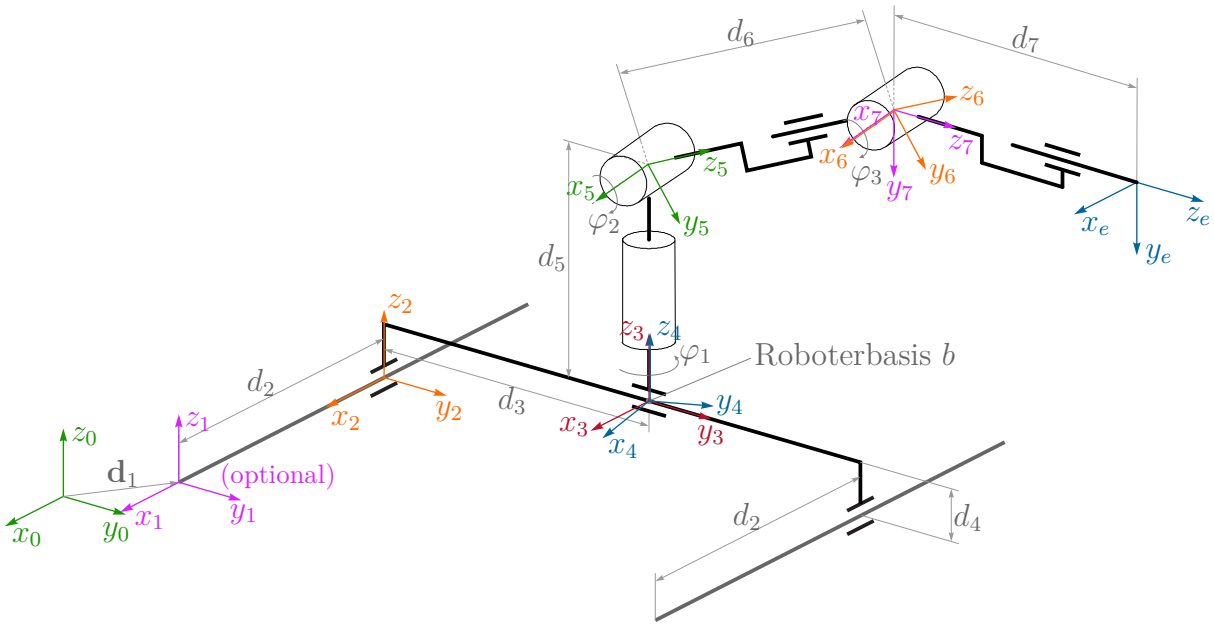


Abbildung 9: Kinematische Kette mit Koordinatensystemen.

iii. In Abb. 9 entspricht das Koordinatensystem  $(0_3x_3y_3z_3)$  der Roboterbasis  $b$ .

$$\mathbf{H}_b^e(\varphi_1, \varphi_2, d_6, \varphi_3, d_7) = \mathbf{H}_3^4(\varphi_1)\mathbf{H}_4^5(\varphi_2)\mathbf{H}_5^6(d_6)\mathbf{H}_6^7(\varphi_3)\mathbf{H}_7^e(d_7)$$

*iv.*

$$\begin{aligned}\mathbf{H}_3^4(\varphi_1) &= \begin{bmatrix} \mathbf{R}_{z,\varphi_1} & \mathbf{0} \\ \mathbf{0} & 1 \end{bmatrix}, & \mathbf{H}_4^5(\varphi_2) &= \begin{bmatrix} \mathbf{R}_{x,-\varphi_2} & \begin{bmatrix} 0 \\ 0 \\ d_5 \end{bmatrix} \\ \mathbf{0} & 1 \end{bmatrix}, \\ \mathbf{H}_5^6(d_6) &= \begin{bmatrix} \mathbf{E} & \begin{bmatrix} 0 \\ 0 \\ d_6 \end{bmatrix} \\ \mathbf{0} & 1 \end{bmatrix}, & \mathbf{H}_6^7(\varphi_3) &= \begin{bmatrix} \mathbf{R}_{x,-\varphi_3} & \mathbf{0} \\ \mathbf{0} & 1 \end{bmatrix}, \\ \mathbf{H}_7^e(d_7) &= \begin{bmatrix} \mathbf{E} & \begin{bmatrix} 0 \\ 0 \\ d_7 \end{bmatrix} \\ \mathbf{0} & 1 \end{bmatrix}\end{aligned}$$